

观叶福禄桐 ISSR-PCR 反应体系的建立及优化

张国武¹, 黄 涛², 吴南生², 张沛健¹, 刘学锋¹

(1. 国家林业局桉树研究开发中心, 广东 湛江 524022; 2. 江西农业大学 园林艺术学院, 江西 南昌 330045)

摘要:以福禄桐叶片为试材,采用正交实验和单因子试验,分析模板DNA、Mg²⁺、Taq酶、引物和dNTP五个因子对福禄桐ISSR-PCR反应的影响。结果表明:福禄桐ISSR-PCR最佳反应体系为在25 μL反应体系中,模板DNA为15 ng, Mg²⁺ 3.0 mmol/L, Taq酶0.5 U,引物0.6 μmol/L, dNTP 0.20 mmol/L,通过梯度PCR试验得到相应引物最佳退火温度为47℃;该试验可为福禄桐遗传多样性分析和亲缘关系等提供理论基础。

关键词:福禄桐; ISSR-PCR反应; 梯度PCR; 退火温度

中图分类号:S 682.36 **文献标识码:**A **文章编号:**1001-0009(2014)15-0101-05

福禄桐(*Polyscias*)属五加科福禄桐属常绿灌木或小乔木,又名南洋参,原产于太平洋诸岛,株形柔和,古朴优雅,叶片与茎干奇特优美^[1]。株高1~3 m,株型高大、饱满,侧枝细长,分支皮孔显著,枝繁叶茂,叶色多彩,性喜高温多湿,耐旱耐阴。由于其独特的魅力成为近些年来非常流行的一类观叶植物类群,又因其名字含有“福禄”一词,有富贵吉祥的美好寓意,广受人们的喜爱,主要用于庭院美化和盆栽。调查研究表明,国外的研究主要集中在观叶福禄桐的起源、化学成分以及药理作用^[2-4];国内则主要集中研究观叶福禄桐的栽培、繁殖和观赏价值^[5-6],而国内外对其遗传学背景研究尚鲜见报道,导致观叶福禄桐品种混杂、分类标准不统一、优良种质资源稀缺、制约其快速良好的发展,目前急需对其遗传结构及遗传多样性做全面的研究。

ISSR(Inter-Simple Sequence Repeat)由Zietkiewicz等^[7]于1994年创建,因其具有分布广、多态性高、技术难度低、操作简单、重复性高、成本低等优点,是近年来应用较为广泛的分子遗传标记技术,它来源于植物基因组中丰富的简单序列重复(SSR),由2~4个随机的核苷酸锚定在微卫星序列的3'端或5'端,由此组成的单引物进行重复序列间DNA的PCR扩增^[8]。该试验选用羽叶福禄桐(*Polyscias fruticosa* var. *plumata* Bailey)为材料,对PCR反应的主要影响因子模板DNA、Taq聚合酶、引物、Mg²⁺、dNTP以及退火温度进行分析,旨在建立福禄桐ISSR-PCR最佳反应体系,为今后福禄桐种质资源遗

传多样性和亲缘关系的研究提供了分子水平的借鉴与参考。

1 材料与方法

1.1 试验材料

供试福禄桐植株采自于广东省湛江市南方国家级种苗基地,取生长健壮、无病虫害危害幼嫩叶片—70℃冰箱保存备用。

引物参照加拿大哥伦比亚大学(UBC)^[9]所设计的引物序列,由铂尚生物技术(上海)公司合成;Taq DNA聚合酶、Mg²⁺、dNTP、10×buffer 和 DSTM 5000Marker 购于广州东盛生物公司;PCR仪美国Bio-Rad(伯乐公司)C-1000,试验于国家林业局桉树研究开发中心实验室完成。

1.2 试验方法

1.2.1 福禄桐基因组DNA提取与检测 采用改良的CTAB法^[10-11]提取5个福禄桐属植物叶片基因组DNA,它们分别为C1圆叶福禄桐(*Polyscias scutellaria* (N. L. Burman) Fosberg),C2线叶南洋森(*Polyscias cumingiana* (C. Presl) Fernández-Villar),C3银边福禄桐(*Polyscias guilfoylei*),C4南洋森(*Polyscias fruticosa* (Linnaeus) Harms),C5银边圆叶福禄桐(*Polyscias balfouriana* cv. Marginata);用1×TAE电泳缓冲液,在1.5%琼脂糖(含EB终浓度为0.5 μg/mL)凝胶中电泳,条件为85 V,50 min;凝胶成像系统下(Bio-Rad)观察并记录,以初步检测基因组DNA的完整度和质量;通过核酸检测仪(Bio-Rad生产的Thermo Nano Drop 2000)检测其浓度及纯度。

1.2.2 福禄桐ISSR-PCR反应体系和条件 试验采用L₁₆(4⁵)正交设计,对PCR反应中5个因素(Mg²⁺浓度、模板DNA浓度、dNTP浓度、引物浓度、Taq酶浓度)进

第一作者简介:张国武(1966-),男,博士,高级工程师,研究方向为森林培育。

基金项目:中国林业科学院基金资助项目(CAFYBB2012005)。

收稿日期:2014-01-21

行优化,选用通用引物 UBC807,每个处理3次重复。PCR反应的因素水平见表1,L₁₆(4⁵)设计方案见表2。反应体系为25 μL,内含1×buffer。反应条件:94℃预变性4 min;94℃变性45 s,52℃退火45 s,72℃延伸1 min,循环35次;72℃延伸7 min;4℃保存。取PCR产物于1.5%琼脂糖(含EB终浓度为0.5 μg/mL)凝胶中电泳(85 V,1 h),然后在凝胶成像系统下观察并成像记录,参照何文正等^[12]、唐辉等^[13]方法,依据条带数、清晰度和特异性对PCR扩增结果进行依次打分。3次重复分别独立统计。

表1 ISSR-PCR反应体系的因素水平

Table 1 Factors and levels of ISSR-PCR system

因素 Factor	水平(体系终浓度)Level(Final concentration)			
	1	2	3	4
Taq 酶 Taq DNA polymerase/U·(25 μL) ⁻¹	0.5	1.0	1.5	2.0
dNTP/mmol·L ⁻¹	0.15	0.20	0.25	0.30
引物 Primer/μmol·L ⁻¹	0.2	0.4	0.6	0.8
Mg ²⁺ /mmol·L ⁻¹	1.5	2.0	2.5	3.0
模板 DNA DNA template/ng·(25 μL) ⁻¹	10	15	20	25

表2 ISSR-PCR正交实验设计(L₁₆(4⁵))Table 2 Orthogonal design of ISSR-PCR system (L₁₆(4⁵))

编号 Number	模板 DNA DNA template /ng·(25 μL) ⁻¹	Mg ²⁺ /mmol·L ⁻¹	引物 Primer /μmol·L ⁻¹	Taq 酶 Taq DNA polymerase /U·(25 μL) ⁻¹		dNTP /mmol·L ⁻¹
				Primer /μmol·L ⁻¹	Taq DNA polymerase /U·(25 μL) ⁻¹	
1	10	1.5	0.2	0.5	0.15	
2	10	2.0	0.4	1.0	0.20	
3	10	2.5	0.6	1.5	0.25	
4	10	3.0	0.8	2.0	0.30	
5	15	1.5	0.4	1.5	0.30	
6	15	2.0	0.2	2.0	0.25	
7	15	2.5	0.8	0.5	0.20	
8	15	3.0	0.6	1.0	0.15	
9	20	1.5	0.6	2.0	0.20	
10	20	2.0	0.8	1.5	0.15	
11	20	2.5	0.2	1.0	0.30	
12	20	3.0	0.4	0.5	0.25	
13	25	1.5	0.8	1.0	0.25	
14	25	2.0	0.6	0.5	0.30	
15	25	2.5	0.4	2.0	0.15	
16	25	3.0	0.2	1.5	0.20	

1.2.3 福禄桐ISSR-PCR反应单因子试验设计 据正交实验初步建立的ISSR-PCR反应体系,按照一定的浓度梯度适当变化,进行单因子(Mg²⁺、模板DNA、dNTP、引物、Taq酶)试验,每个处理重复2次,试验设计见表3,找出适合福禄桐ISSR-PCR反应体系。

1.2.4 引物退火温度优化试验 在正交实验和单因子试验建立的最佳反应体系基础上,进行退火温度试验,退火温度在46~57℃,扩增仪自动生成8个梯度46.0、

表3 ISSR-PCR单因子试验设计

Table 3 Respective factor design for ISSR-PCR

编号 No.	模板 DNA DNA template /ng·(25 μL) ⁻¹	Mg ²⁺ /mmol·L ⁻¹	引物 Primer /μmol·L ⁻¹	Taq 酶 Taq DNA polymerase /U·(25 μL) ⁻¹	dNTP /mmol·L ⁻¹
1	12.5	2.5	0.8	0.5	0.2
2	15	2.5	0.8	0.5	0.2
3	17.5	2.5	0.8	0.5	0.2
4	20	2.5	0.8	0.5	0.2
5	15	2.0	0.8	0.5	0.2
6	15	2.5	0.8	0.5	0.2
7	15	3.0	0.8	0.5	0.2
8	15	3.5	0.8	0.5	0.2
9	15	2.5	0.4	0.5	0.2
10	15	2.5	0.6	0.5	0.2
11	15	2.5	0.8	0.5	0.2
12	15	2.5	1.0	0.5	0.2
13	15	2.5	0.8	0.2	0.2
14	15	2.5	0.8	0.5	0.2
15	15	2.5	0.8	0.8	0.2
16	15	2.5	0.8	1.0	0.2
17	15	2.5	0.8	0.5	0.16
18	15	2.5	0.8	0.5	0.2
19	15	2.5	0.8	0.5	0.24
20	15	2.5	0.8	0.5	0.28

46.7、48.2、50.3、53.5、55.2、56.4、57.0℃,筛选出该引物的最佳退火温度。

1.3 数据分析

试验数据采用SPSS 17.0进行方差分析。

2 结果与分析

2.1 基因组DNA提取与检测

该试验通过改良的CTAB法提取5种福禄桐属植物叶片基因组DNA进行电泳检测,结果表明条带清晰,无降解(图1);核酸检测仪测定OD₂₆₀/OD₂₈₀比值在1.75~1.95之间,表明所提取基因组DNA中蛋白质和RNA含量较少,纯度较高,符合后续的试验要求。为了

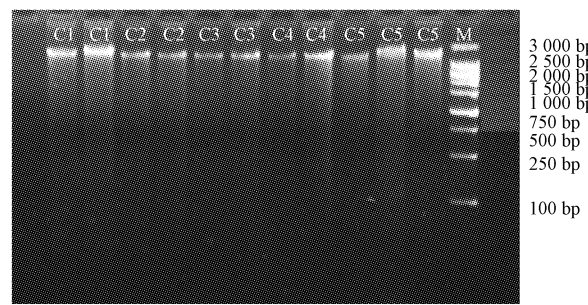


图1 福禄桐5个品种DNA质量检测

注:C1~C5分别代表圆叶福禄桐、线叶南洋森、银边福禄桐、南洋森、银边圆叶福禄桐。M为marker。

Fig. 1 Quality detection of *Polyscias* DNA template

Note: C1~C5 represent round leaf *Polyscias*, line leaf *Polyscias fruticosa*, silverside *Polyscias*, *Polyscias fruticosa*, silverside round leaf *Polyscias*, respectively. M is marker.

统一反应体系,最后根据样品测得的浓度相应地稀释成20 ng/ μ L。

2.2 ISSR-PCR 正交设计直观分析

正交试验 PCR 电泳结果见图 2~5,16 个处理分数见表 4。

表 4 16 个处理评分

Table 4 The point table of 16 managers

重复	组合 Combination															
	1	2	3	4	5	6	7	8	9	10	11	12	13	14	15	16
1	5	7	10	12	4	7	14	13	2	5	12	13	10	5	5	7
2	4	8	10	12	4	8	16	12	1	5	13	13	9	3	4	8
3	4	8	11	11	4	7	15	11	2	6	13	13	9	5	5	8

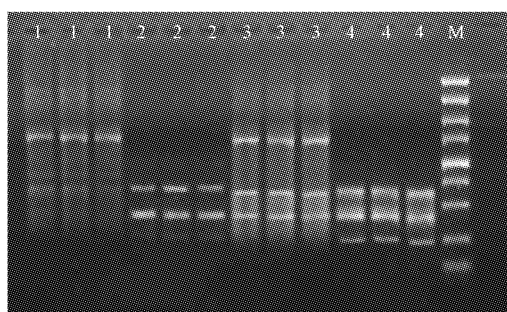


图 2 PCR 产物电泳结果

注:数字代表表 2 中的处理组合。下同。

Fig. 2 Result of PCR products electrophoresis

Note: Numbers mean the treatment combination in table 2, the same below.

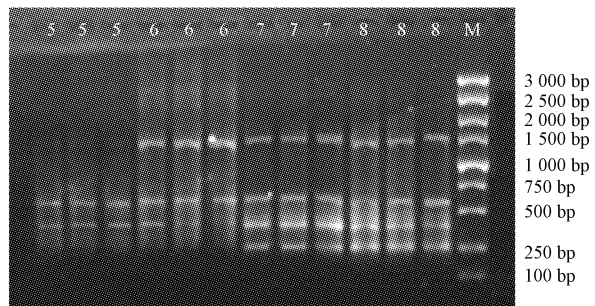


图 3 PCR 产物电泳结果

Fig. 3 Result of PCR products electrophoresis

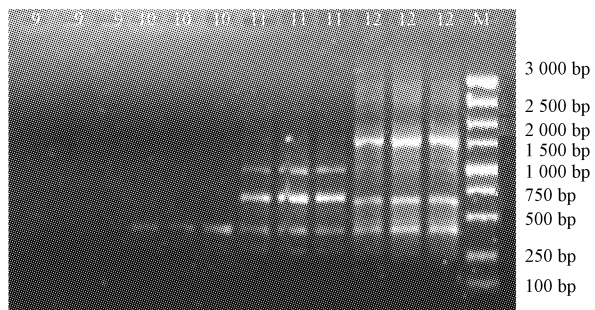


图 4 PCR 产物电泳结果

Fig. 4 Result of PCR products electrophoresis

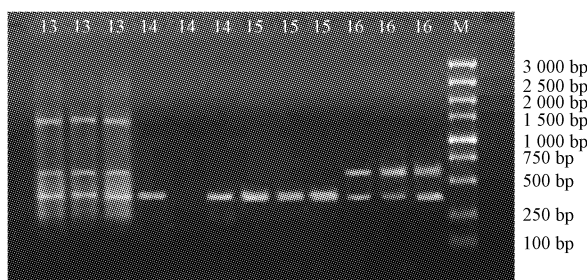


图 5 PCR 产物电泳结果

Fig. 5 Result of PCR products electrophoresis

2.3 ISSR-PCR 正交结果方差分析

由表 5 可知,由 F 值可知,各因素水平变化对 PCR 反应的影响大小依次为 Mg^{2+} 、Taq 聚合酶、Primer、dNTP、模板 DNA,各因素水平间的差异均达到显著水平,可以进行下游试验,进一步细调各因素内水平。

表 5 PCR 反应各因素间的方差分析

Table 5 Variance analysis for the factors of PCR

变异来源 Source	自由度 DF	平方和 SS	均方 MS	F 值 F value
模板 DNA DNA template	3	58.729	19.576	44.746 **
镁离子 Mg^{2+} Mg^{2+}	3	358.396	119.465	273.063 **
引物 Primer Primer	3	79.063	26.354	60.238 **
Taq 酶 Taq DNA polymerase	3	134.396	44.799	102.397 **
dNTP	3	70.729	23.576	53.889 **
误差 Error Error	32	14.000	0.437	
总和 Sum Sum	48	3 933.000		

2.4 ISSR-PCR 单因素试验结果分析

2.4.1 模板浓度对 ISSR-PCR 的影响 DNA 模板浓度对 ISSR-PCR 反应影响最小,从图 6 可知,DNA 模板浓度分别为 12.5、15.0、17.5 ng/25 μ L 时条带亮度和多态性差异不大,而浓度为 20.0 ng/25 μ L 条带亮度有所减弱。因此,综合上述正交实验模板用量 15.0 ng 较为合适。

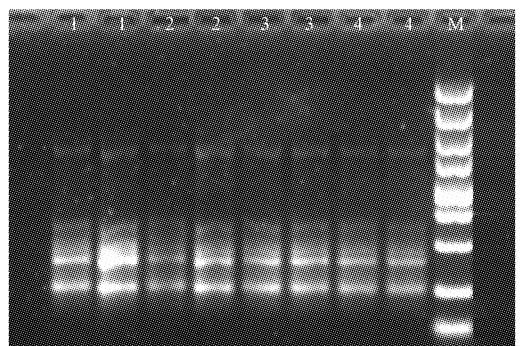


图 6 模板浓度对 PCR 反应的影响

注:1,2,3,4 分别代表 12.5、15.0、17.5、20.0 ng/25 μ L。

Fig. 6 Effect of PCR at different concentrations of template

Note: 1,2,3,4 represent 12.5,15.0,17.5,20.0 ng/25 μ L.

2.4.2 Mg^{2+} 浓度对 ISSR-PCR 的影响 Mg^{2+} 浓度不仅影响酶的活性,还能与反应中的引物、模板、dNTP 结合,影响模板与引物的结合率,产生非特异性^[14]。结合图 7 可知,随着 Mg^{2+} 浓度逐渐提高,条带亮度由暗变亮在变暗, Mg^{2+} 浓度在 3.0 mmol/L 条带亮度高,特异性好。因此福禄桐 ISSR-PCR 体系 Mg^{2+} 最佳浓度 3.0 mmol/L。

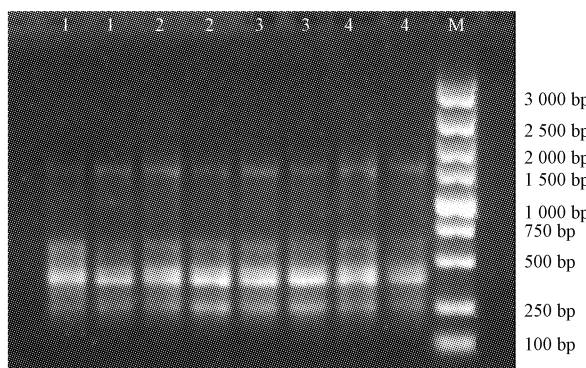


图 7 Mg^{2+} 浓度对 PCR 反应的影响

注:1:2.0 mmol/L;2:2.5 mmol/L;3:3.0 mmol/L;4:3.5 mmol/L。

Fig. 7 Effect of PCR at different concentrations of Mg^{2+}

Note:1,2,3,4 represent 2.0,2.5,3.0,3.5 mmol/L.

2.4.3 引物浓度对 ISSR-PCR 的影响 引物浓度会影响 PCR 结果的可靠性,浓度偏高会引起错配和非特异性产物扩增,且会增加引物之间形成二聚体的概率,浓度过低则无法检测出所有 ISSR 位点^[15]。由图 8 可知,随着引物浓度的升高,条带亮度有所下降并出现弥散现象,考虑到成本和综合上述正交实验引物最佳浓度为 0.6 μ mol/L。

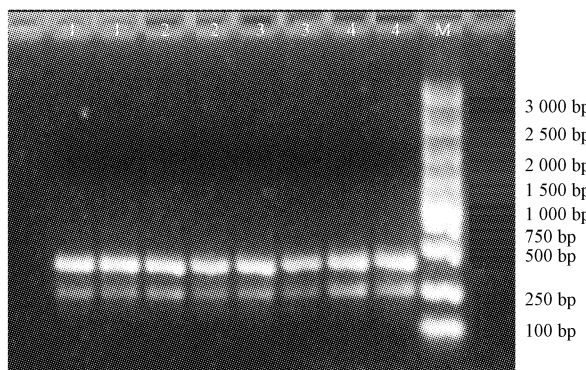


图 8 引物浓度对 PCR 反应的影响

注:1:0.4 μ mol/L;2:0.6 μ mol/L;3:0.8 μ mol/L;4:1.0 μ mol/L。

Fig. 8 Effect of PCR at different concentrations of primer

Note:1,2,3,4 represent 0.4,0.6,0.8,1.0 μ mol/L.

2.4.4 *Taq* 酶浓度对 ISSR-PCR 的影响 *Taq* 酶是影响 ISSR-PCR 反应中的一个重要因素,图 9 中 *Taq* 酶浓度为 0.2、0.5 U/ 25μ L 时,条带亮度较好,多态性高;随着浓度升高至 0.8、1.0 U/ 25μ L,条带多态性没有明显变

化,但亮度反而有所降低并出现弥散现象。从经济和试验效果考虑, *Taq* 酶最适宜浓度为 0.5 U/ 25μ L。

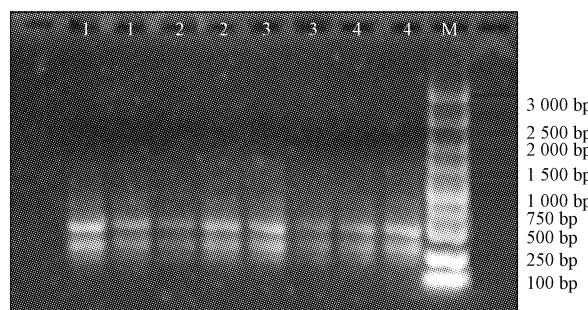


图 9 *Taq* 酶浓度对 PCR 反应的影响

注:1:0.2 U/ 25μ L;2:0.5 U/ 25μ L;3:0.8 U/ 25μ L;4:1.0 U/ 25μ L。

Fig. 9 Effect of PCR at different concentrations of *Taq* polymerase

Note:1,2,3,4 represent 0.2,0.5,0.8,1.0 U/ 25μ L.

2.4.5 dNTP 浓度对 ISSR-PCR 的影响 dNTP 是 PCR 反应中合成新核苷酸的原料和提供能量的来源,因此 dNTP 在 PCR 反应中发挥着重要作用。由图 10 可知,dNTP 浓度为 0.16、0.28 mmol/L 时,条带较暗且出现弥散现象;而浓度为 0.20 mmol/L 条带清晰,多态性好。结合正交实验 dNTP 浓度为 0.20 mmol/L 较为合适。

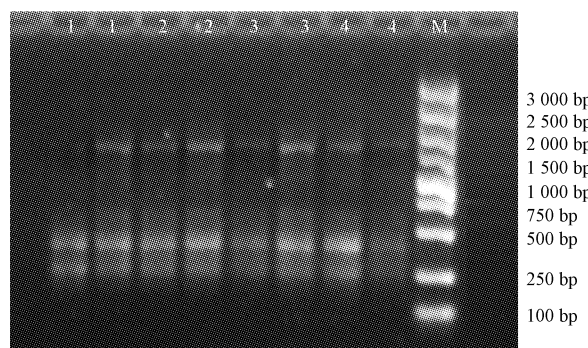


图 10 dNTP 浓度对 PCR 反应的影响

注:1:0.16 mmol/L;2:0.20 mmol/L;3:0.24 mmol/L;4:0.28 mmol/L。

Fig. 10 Effect of PCR at different concentrations of dNTP

Note:1,2,3,4 represent 0.16,0.20,0.24,0.28 mmol/L.

2.5 退火温度对 ISSR-PCR 的影响

退火温度为引物和模板 DNA 结合时候的温度参数,是影响 PCR 特异性较重要因素。由图 11 可知,退火温度逐渐升高,条带逐渐减少,亮度减弱,弥散现象严重,当退火温度在 46.7°C,产生的条带质量最好,较为适合。

3 结论与讨论

试验结果表明,福禄桐 ISSR-PCR 25 μ L 反应体系中 5 个因子的最佳水平为 DNA 模板浓度为 15 ng, Mg^{2+} 浓度为 3.0 mmol/L,引物浓度 0.6 μ mol/L, *Taq* 酶含量 0.5 U,dNTP 浓度为 0.20 mmol/L,内含 2.5 μ L 10×PCR buffer。反应程序:94°C 预变性 4 min;94°C 变性 45 s,47°C

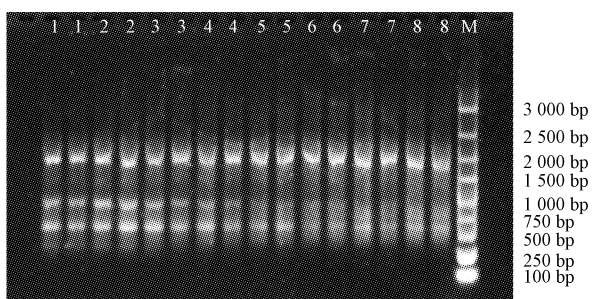


图 11 退火温度对 PCR 反应的影响

注:1~8 对应退火温度为 46.0、46.7、48.2、50.3、53.0、55.2、56.4、57.0 °C。

Fig. 11 Effect of PCR at different concentrations of the annealing temperature

Note: Number 1~8 represent temperature of 46.0, 46.7, 48.2, 50.3, 53.0, 55.2, 56.4, 57.0 °C.

退火 45 s, 72°C 延伸 1 min, 循环 35 次; 72°C 延伸 7 min; 4°C 保存。

ISSR 分子标记的扩增结果受反应条件、扩增程序以及物种的不同影响^[16]。试验表明,模板 DNA 用量、Mg²⁺ 浓度、Primer 浓度、Taq 酶含量、dNTP 浓度以及退火温度对福禄桐 ISSR-PCR 反应都有不同程度的影响;其中以 Mg²⁺、Taq 酶、引物影响较大,其浓度过高主带亮度有所变暗且出现弥散现象。每个引物有其相对应的退火温度,引物的退火温度对 PCR 扩增影响较大,温度过低导致不完全配对的位点得到扩增,产生部分非特异性片段,相反温度过高,则引物与模板难结合,扩增反应受抑制,扩增片段减少。

该研究结合正交实验和单因子试验对福禄桐 ISSR-PCR 反应体系进行优化,既排除了各因素之间互作对反应体系的影响,又设置了较多的水平梯度,从而较快的建立满意的试验结果,但正交设计直观分析法也存在一定的局限性,如对试验结果本身的评价带有主观成分,打分的先后次序直接影响分析结果,使影响因素最佳反

应水平的确定缺乏可靠性。此外,试验过程中易受一些人为因素、试验药品、试验器材等因素的影响,试验偶然性也比较大。因此,在试验过程中,应由固定人员操作,选择同一批试剂和器材,多次重复进行试验,以减少误差。

参考文献

- [1] 李克烈,王荣香,陈伟,等.羽叶南洋参的组织培养[J].植物生理学通讯,2007,43(2):324-325.
- [2] Plunkett G M, Lowry P P, Burke M K. The phylogenetic status of *Polyscias* (Araliaceae) based on nuclear it's sequence date[J]. Annals of the Missouri Botanical Garden, 2001, 30(1):213-230.
- [3] Mitaine-Offer A C, Taqondjou L A, Lontsi D. Constituents isolated from *Polyscias fulva*[J]. Biochemical Systematic and Ecology, 2004, 32(6): 607-610.
- [4] Vo D H, Yamamura S, Ohtani K, et al. Oleanane saponins from *Polyscias fruticosa*[J]. Phytochemistry, 1998, 47(3):451-457.
- [5] 欧阳泉,周俊辉,陈水渐,等.几种盆栽植物对甲醛的净化作用[J].北方园艺,2012(22):57-60.
- [6] 尹斌开,龙相斌,胡庆,等.圆叶福禄桐组培快繁技术研究[J].现代农业科技,2008(20):18-19.
- [7] Zietkiewicz E, Rafalski A, Labuda D. Genome fingerprinting by simple sequence repeat (SSR)-anchored polymerase chain reaction amplification[J]. Genomics, 1999, 20:176-183.
- [8] 杨兆起.中药鉴别手册(第3册)[M].北京:科学出版社,1994:1.
- [9] 孙清信,陈坚,张辉,等.紫云英ISSR引物的筛选及PCR反应体系的优化[J].植物遗传资源学报,2012,13(5):870-878.
- [10] 邹喻莘,葛颂,王晓东.系统与进化植物学中的分子标记[M].北京:科学出版社,2001.
- [11] Dolye J J, Dolye J L. A rapid DNA isolation procedure for small quantities of fresh leaf tissue[J]. Phytochem Bul, 1987, 9(1):11-15.
- [12] 何正文,刘运生,陈立华,等.正交设计直观分析法优化 PCR 条件[J].湖南医科大学学报,1998,23(4):403-404.
- [13] 唐辉,陈宗游,史艳财,等.正交设计优化地枫皮 ISSR-PCR 反应体系[J].中草药,2013,44(5):610-615.
- [14] 王佳,梁国华,陈学好.正交优化黄瓜 ISSR 体系[J].分子育种,2006,3(4):439-442.
- [15] 田斌,辛培尧,孙正海,等.三七 ISSR-PCR 反应体系建立及优化[J].云南农业大学学报,2013,28(1):96-101.
- [16] 林万明. PCR 技术操作和应用指南[M].北京:人民军医出版社,1993.

Establishment and Optimization of ISSR-PCR Reaction System for *Polyscias*

ZHANG Guo-wu¹, HUANG Tao², WU Nan-sheng², ZHANG Pei-jian¹, LIU Xue-feng¹

(1. Eucalypt Research Centre, State Forestry Administration, Zhanjiang, Guangdong 524022; 2. College of Landscape and Art, Jiangxi Agricultural University, Nanchang, Jiangxi 330045)

Abstract: Use leaves of *Polyscias* as materials, the effect of the five main reaction elements (Mg²⁺, Taq DNA polymerase, dNTP, DNA template and primer) on *Polyscias* ISSR-PCR were all optimized by combining single factor experiments and orthogonal test method. The results showed that the best ISSR-PCR reaction system of *Polyscias* was 25 μL, reaction system concetion: the DNA template 15.00 ng, Mg²⁺ 3.0 mmol/L, Taq DNA polymerase 0.5 U, primer 0.6 μmol/L, dNTP 0.20 mmol/L. The optimal annealing temperature of ISSR-PCR was 47°C by gradient PCR. This system could provide theoretical foundation for carrot research on genetic diversity analysis, genetic relationship, etc.

Key words: *Polyscias*; ISSR-PCR reaction; gradient PCR; annealing temperature